

Математическая модель надводного мини-корабля

В.А. Костюков, А.М. Маевский, Б.В. Гуренко

Южный федеральный университет, Таганрог

Аннотация: Известно, что для анализа, моделирования движения подвижных роботизированных объектов и последующего синтеза их систем управления в общем случае требуется рассматривать полную нелинейную многосвязную математическую модель [1-4], учитывающую перекрестную нелинейную зависимость между различными компонентами поступательного и вращательного движений таких аппаратов. Ниже рассматриваются особенности такой полной модели применительно к динамике надводного мини-корабля.

Точная оценка аэро - или/и гидродинамических воздействий со стороны сплошной среды является необходимой для синтеза адекватной системы управления указанными объектами [1]. Вместе с тем, требуемый расчет этих воздействий в общем случае является весьма трудоемкой задачей с вычислительной точки зрения. Решение этой проблемы во многом связано с разработкой таких методик указанного расчета, которые бы на основании учета конкретных особенностей взаимодействия того или иного носителя со сплошной средой – однофазной или многофазной - существенно ускорили процесс вычисления на алгоритмическом уровне. Ниже дается первое приближение для такой методики применительно к надводному мини-кораблю.

Проводится численное моделирование движения управляемого позиционно-траекторным регулятором мини-корабля при малых углах крена и наличии морского волнения на основе полносвязной математической модели и предложенной методики оценки гидродинамических воздействий.

Ключевые слова: надводный мини-корабль, позиционно-траекторный регулятор, аэрогидродинамика, математическая модель, нелинейная динамика, CFD моделирование, внешние возмущения.

Полносвязная математическая модель движения корабля

Отличительной особенностью динамики надводного мини-корабля является наличие границы раздела двух сред, что увеличивает число аргументов в функциональных зависимостях сил и моментов, порожденных сплошной средой. Наличие значимых ветровых возмущений и/или подводных течений приводит к необходимости дифференцированного рассмотрения этих явлений, что в самом простом случае установившегося обтекания требует рассмотрения двух пар углов атаки и скольжения. Кроме того, морское волнение является отдельным, очень сложным воздействием. Все это вместе приводит к существенному повышению (на порядки) времени расчета.

Рассмотрим полную математическую модель движения корабля. Используем следующую связанную систему координат OXYZ: её начало O есть точка пересечения нормали, опущенной из геометрического центра судна перпендикулярно границе раздела сред в статическом положении и линии киля; ось X направлена в диаметральной плоскости судна параллельно границе раздела сред в его статическом положении; ось OY направлена вдоль указанной нормали; ось OZ образует правую тройку с OX и OY (см. рис.1, связанная система координат OXYZ выделена оранжевым цветом). Базовую систему координат выберем так, чтобы её координатная плоскость $O_g X_g Z_g$ совпала с невозмущенной свободной поверхностью (см. рис.2)

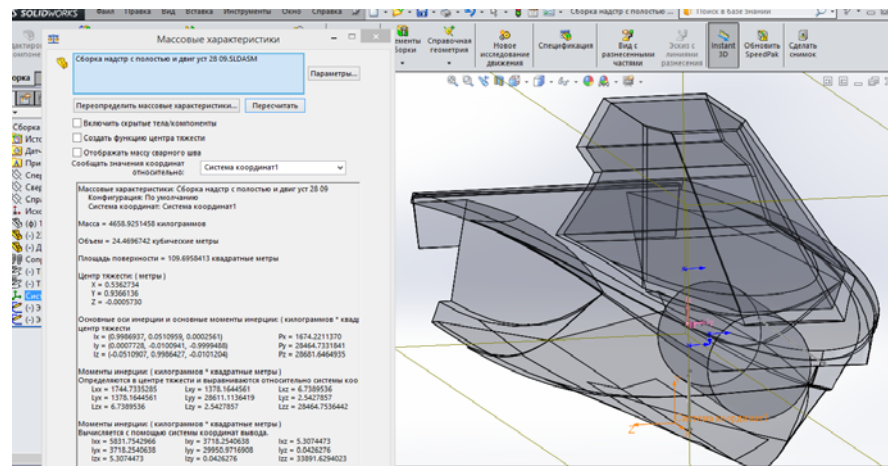


Рисунок 1 – К определению связанной системы координат корабля

Полная нелинейная многосвязная модель динамики может быть представлена в матричной форме [4]:

$$\dot{\mathbf{Y}} = \left[\hat{\mathbf{A}} \right] \cdot \mathbf{X}, \quad \frac{d\mathbf{X}}{dt} = [\mathbf{M}]^{-1} \left(\tilde{\mathbf{F}}_{упр} + \tilde{\mathbf{F}}_{дин} + \tilde{\mathbf{F}}_{\epsilon} \right) \quad (1)$$

где $\tilde{\mathbf{A}}, \tilde{\mathbf{G}}, \tilde{\mathbf{F}}_{WA}, \tilde{\mathbf{F}}_{\epsilon} = \tilde{\mathbf{A}} + \tilde{\mathbf{G}} + \tilde{\mathbf{F}}_{AW}$ - векторы обобщенных сил Архимеда, тяжести, гидро- аэродинамического воздействия и полной силы, соответственно; $\tilde{\mathbf{F}}_{дин}$ - обобщенный вектор нелинейных элементов динамики; $\tilde{\mathbf{F}}_{упр}$ - обобщенный вектор управляющих воздействий; $[\tilde{\mathbf{M}}]$ - матрица массо-инерционных характеристик; $\bar{\mathbf{Y}} = [\mathbf{r}(x_0, y_0, z_0), \Theta(\varphi, \psi, \gamma)]^T$ - вектор внешних

координат, характеризующих положение (радиус-вектор $\mathbf{r}(x_0, y_0, z_0)$) и ориентацию (вектор $\Theta(\varphi, \psi, \gamma)$) связанной системы относительно базовой; $\mathbf{X} = (\omega_x, \omega_y, \omega_z, V_x, V_y, V_z)^T$ - вектор внутренних координат – проекций на связанные оси векторов линейной $\mathbf{V}(V_x, V_y, V_z)$ и угловой $\omega(\omega_x, \omega_y, \omega_z)$ скоростей; $[\hat{A}]$ - полная матрица кинематики.

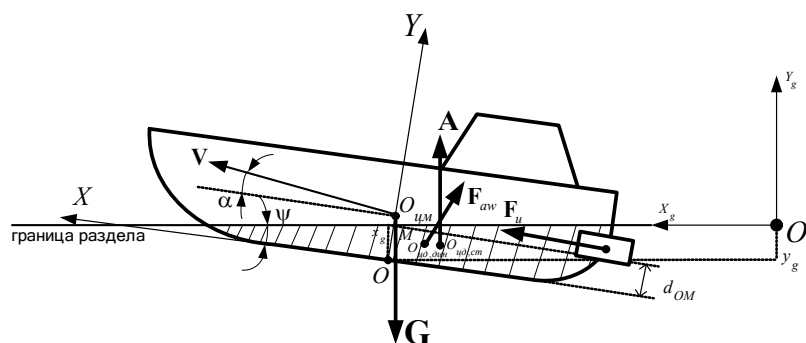


Рисунок 2 - к определению параметров, задающих положение свободной поверхности в связанной системе координат, и внешних силовых воздействий

Рассмотрим важный вопрос определения обобщенных гидростатических/динамических сил $\tilde{\mathbf{F}}_{AW} = (\mathbf{F}_{AW}, \mathbf{M}_{AW})$.

Методика оценки функциональных зависимостей сил \mathbf{F}_{AW} и \mathbf{M}_{AW} в первом приближении

Представим полные силы и моменты за счет сплошной среды в виде суперпозиции соответствующих воздействий на спокойной воде $\mathbf{F}_{aw}, \mathbf{M}_{aw}$ и вклада морского волнения $\mathbf{F}_{волн}, \mathbf{M}_{волн}$:

$$\mathbf{F}_{AW} = \mathbf{F}_{aw} + \mathbf{F}_{волн}, \mathbf{M}_{AW} = \mathbf{M}_{aw} + \mathbf{M}_{волн}. \quad (2)$$

Рассмотрим составляющие $\mathbf{F}_{aw}, \mathbf{M}_{aw}$. Углы атаки α и скольжения β характеризуют ориентацию вектора линейной скорости \mathbf{V} движения корабля относительно водной и воздушной сред. Однако для задания ориентации

корабля относительно свободной поверхности раздела требуется еще три дополнительных величины: углы крена γ , дифферента ψ и водоизмещение $U_{подв}$ или любая величина, однозначно определяющаяся через $U_{подв}$ и указанные углы γ, ψ . Таким образом, каждая из проекций $\mathbf{F}_{aw}(\xi), \mathbf{M}_{aw}(\xi)$ зависит от девяти величин: $(V, \alpha, \beta, \omega_x, \omega_y, \omega_z, \psi, \gamma, U_{подв}) \equiv \xi$.

Большое число аргументов этих зависимостей существенно усложняет анализ и моделирование движения с поверхностью раздела сред. Поэтому представляется целесообразным разработать такой подход оценивания указанных зависимостей, который бы адекватным и одновременно позволил существенно сократить время идентификации гидроаэродинамических параметров модели.

Покажем, что в первом приближении для определения зависимостей $\mathbf{F}_{aw}(\xi), \mathbf{M}_{aw}(\xi)$ достаточно провести численное гидроаэродинамическое моделирование для фиксированного водоизмещения $U_{подв,0}$.

Силы и моменты $\mathbf{F}_{aw}, \mathbf{M}_{aw}$ всегда можно представить в виде суперпозиций соответствующих воздействий на подводную $\mathbf{F}_w, \mathbf{M}_w$ и надводную $\mathbf{F}_a, \mathbf{M}_a$ омываемые поверхности мини-корабля. Аэродинамическими воздействиями далее для простоты пренебрегаем.

Пусть $\mathbf{F}_w^0, \mathbf{M}_w^0$ - значения векторов $\mathbf{F}_w, \mathbf{M}_w$ при водоизмещении $U_{подв,0}$.

Как известно [5-8], гидроаэродинамические воздействия при фиксированной скорости пропорциональны площади смоченной поверхности и соответствующим гидроаэродинамическим коэффициентам, учитывающим, прежде всего, форму этой поверхности. Если пренебречь изменением формы погруженной части мини-корабля при варьировании водоизмещения, но фиксированных углах крена и дифферента γ, ψ , то можно приближенно считать, что векторы $\mathbf{F}_w, \mathbf{M}_w$ пропорциональны векторам

F_w^0, M_w^0 и функции отношения площадей $f_S(\gamma, \psi, U_{подв})$ смоченных поверхностей для данного водоизмещения $U_{подв}$ и эталонного $U_{подв,0}$:

$$F_w = F_w^0 \cdot f_S(\gamma, \psi, U_{подв}), M_w = M_w^0 \cdot f_S(\gamma, \psi, U_{подв}) \quad (3)$$

где

$$f_S(\gamma, \psi, U_{подв}) = \frac{S_{подв}(\gamma, \psi, U_{подв})}{S_{подв,0}(\gamma, \psi)}, \quad (4)$$

$S_{подв}(\gamma, \psi, U_{подв})$ - площадь смоченной поверхности при углах крена γ , дифферента ψ и водоизмещении $U_{подв}$, $S_{подв,0}(\gamma, \psi) = S_{подв}(\gamma, \psi, U_{подв,0})$ - площадь смоченной поверхности при эталонном водоизмещении $U_{подв,0}$ и тех же углах γ, ψ . Пусть d_{OM} - расстояние от начала координат связанной системы до точки пересечения М оси ОУ со свободной поверхностью (рис.2). Величина d_{OM} вместе с углами γ, ψ полностью определяет ориентацию подводной части корабля относительно свободной поверхности, поэтому $U_{подв} = U_{подв}(d_{OM}, \gamma, \psi)$ и в зависимости (3) вместо $U_{подв}$ может быть использован аргумент d_{OM} .

Гидростатические воздействия рассчитываются по стандартным формулам, включающим функциональные зависимости координат точки приложения силы Архимеда x_A, y_A, z_A и объема подводной части аппарата $U_{подв}$ от d_{OM}, γ, ψ [4-7].

Особенность предлагаемого подхода к определению гидродинамических воздействий заключается в том, чтобы получить воздействие на подводную F_w^0, M_w^0 часть аппарата для фиксированного водоизмещения $U_{подв,0}$, а затем по приближенной формуле (3) оценить соответствующие воздействия для других $U_{подв}$.

Это приближение является весьма точным, если изменение водоизмещения корабля в процессе движения будет слабым, так как

последнее не способно привести к сильному изменению формы его подводной части при одних и тех же углах крена и дифферента. Для больших скоростей эта методика позволяет лишь приближенно оценить воздействия сплошной среды.

Составляющие за счет морского волнения $F_{волн}$, $M_{волн}$ могут быть оценены по эмпирическим данным, приведенным, например, в [9]. Для их проекций на оси связанной с катером системы координат после пересчета из скоростной системы были получены следующие аппроксимационные формулы:

$$F_{волн,x} = Ck_{\lambda} \left(\frac{\lambda}{L}\right) f_{\beta}(\beta) \zeta_A^2 f_V(V), \text{ Н} \quad (5)$$

$$F_{волн,y} = Ck_{\lambda} \left(\frac{\lambda}{L}\right) \frac{[f_{1\gamma\beta\psi}(\gamma, \beta, \psi) - 15.56f_{\beta}(\beta)\sin\psi]}{\cos\psi} \zeta_A^2 f_V(V), \text{ Н} \quad (6)$$

$$F_{волн,z} = Ck_{\lambda} \left(\frac{\lambda}{L}\right) f_{1\gamma\beta}(\gamma, \beta) \zeta_A^2 f_V(V), \text{ Н} \quad (7)$$

$$M_{Аволн,x} = Ck_{\lambda} \left(\frac{\lambda}{L}\right) f_{2\gamma\beta}(\gamma, \beta) \zeta_A^2 f_V(V), \text{ Нм} \quad (8)$$

$$M_{волн,y} = Ck_{\lambda} \left(\frac{\lambda}{L}\right) \frac{[0,46\gamma - 0,049f_{2\gamma\beta}(\gamma, \beta)\sin\psi]}{\cos\psi} \zeta_A^2 f_V(V), \text{ Нм} \quad (9)$$

$$M_{волн,z} = Ck_{\lambda} \left(\frac{\lambda}{L}\right) f_{2\gamma\beta\psi}(\gamma, \beta, \psi) \zeta_A^2 f_V(V), \text{ Нм} \quad (10)$$

где $C = \rho g(B^2/L)$ а входящие в эти выражения функции от углов курса волн β , дифферента ψ и крена γ корабля имеют вид:

$$f_V(V) = 0,12 + 0,25V - 0,004V^2, \quad f_{\beta}(\beta) = 4.835e-007\beta^2|\beta| - 4.63e-005\beta^2 - 0.01871|\beta| + 2.609, \\ f_{1\gamma\beta}(\gamma, \beta) = -(7,73\gamma + 5,50\beta), \quad f_{2\gamma\beta}(\gamma, \beta) = 5,43\gamma - 0.0121\gamma|\gamma| + \text{sign}(\beta)(6.222e - 011\beta^6|\beta| - 5.169e - 008\beta^6 + 1.615e - 005\beta^4|\beta| - 0.00238\beta^4 + 0.169\beta^2|\beta| - 5.607\beta^2 + 117.2|\beta| - 21.31),$$



$$f_{1\gamma\beta\psi}(\gamma, \beta, \psi) = 4,24 + 1,625\psi + 0,0167\gamma + 0,0194|\beta| - 5,81410^{-4}\beta^2,$$

$$f_{2\gamma\beta\psi}(\gamma, \beta, \psi) =$$

$$136,5 + 1,274\psi - 0,0063|\gamma|\psi - 0,00402|\beta|\psi - 0,00024V\psi^2,$$

$$k_\lambda \left(\frac{\lambda}{L}\right) = -29,95 \left(\frac{\lambda}{L}\right)^6 + 213 \left(\frac{\lambda}{L}\right)^5 - 592,7 \left(\frac{\lambda}{L}\right)^4 + 814,3 \left(\frac{\lambda}{L}\right)^3 - 573,8 \left(\frac{\lambda}{L}\right)^2 + 195,4 \left(\frac{\lambda}{L}\right) - 24,6.$$

В этих выражениях V – скорость корабля (меняется в диапазоне от 0 до 20 м/с), L – длина корабля, B – его ширина по нормальной ватерлинии, ζ_A – амплитуда волны, λ – длина волны, β – угол курса волн (в градусах): этот угол равен нулю, когда набегание волн встречное, положителен - когда волны набегают на левый борт, и равен 180 градусам, когда набегание волны - в сторону кормы; ψ - угол дифферента, γ - угол крена (даны в градусах).
Формулы (12) достаточно точны вплоть до амплитуд волн $\frac{2\zeta_A}{L} < 1/15$.

Оценка массо-инерционных и демпфирующих параметров корабля.

Выберем для моделирования надводный мини-катер (см. его трехмерную модель и связанную систему координат на рис.1) с параметрами погруженной при нормальном водоизмещении части: максимальные длина - $L = 9,5$ м; ширина - $B = 2,3$ м; глубина погружения - $T = 0,46$ м, и следующими значениями массо-инерционных характеристик:

$$\begin{aligned} m &= 4658,9 \text{ кг}, x_T = -1,305 \text{ м}, y_T = 0,936 \text{ м}, z_T = 0 \text{ м}, \\ J_{xx} &= 5831,75 \text{ кг} \cdot \text{м}^2, J_{yy} = 29950,97 \text{ кг} \cdot \text{м}^2, J_{zz} = 33891,63 \text{ кг} \cdot \text{м}^2, \\ J_{xy} &= 3718,25 \text{ кг} \cdot \text{м}^2, J_{xz} = J_{yz} = 0. \end{aligned} \quad (11)$$

Ниже будем приближенно считать присоединенные массы и коэффициенты демпфирования не зависящими от водоизмещения и рассчитывать их для значения $U_{подв} = U_{подв,0}$. Для расчета компонентов

тензора присоединенных масс $\lambda_{11}, \lambda_{33}, \lambda_{55}, \lambda_{15}$ используем приближенные формулы (11.177) справочника [9]:

$$\begin{aligned}\lambda_{11} &= 0,67\rho VF / S, \quad \lambda_{33} = 0,44\rho VF / S, \quad \lambda_{55} = 0,028\rho V^2 S \left[1-3,6(F/S)^2\right] / F^3, \\ \lambda_{15} &= 0,125\rho V^2 \left[1-3,6(F/S)^2\right] / F,\end{aligned}\quad (12)$$

где V - объем погруженной части, F - площадь погруженной части диаметральной плоскости корабля, S - площадь ватерлинии. Формулы (12) описывают боковой спуск судна, поведение при шквале и т.п. Для определения компонент $\lambda_{22}, \lambda_{66}$ используем приближенные формулы [9], полученные Блохом Э.Л. для полупогруженного эллипсоида вращения для случая, когда круговое миделево сечение эллипсоида перпендикулярно свободной поверхности:

$$\lambda_{22} = k_{22} 2\pi rab^2 / 3, \quad \lambda_{26} = k_{26} 2\pi rab^2 (a^2 + b^2) / 15, \quad (13)$$

где безразмерные коэффициенты k_{22}, k_{26} считаем совпадающими с коэффициентами $k_{33,0}, k_{35,0}$. Расчет по формулам (12), (13) для нашего случая дает следующие значения ненулевых элементов тензора $\{\lambda_{ij}\}$:

$$\begin{aligned}\lambda_{11} &= 846,78 \text{ кг}, \quad \lambda_{33} = 556,1 \text{ кг}, \quad \lambda_{55} = 107,2 \text{ кгм}^2, \\ \lambda_{15} &= 7341,00 \text{ кг}, \quad \lambda_{22} = 9545 \text{ кг}, \quad \lambda_{26} = 70370 \text{ кг},\end{aligned}\quad (14)$$

Демпфирующий момент $M_{wy, \text{демпф}}$ относительно плоскости мидельшпангоута может быть приближенно рассчитан по формуле (2.160) из [9]:

$$M_{wy, \text{демпф}}(V, \omega_y) = -C_{My}^{\omega} (\rho S_{\text{ДП},0} L^2 / 2) V \omega_y, \quad (15)$$

где $C_{My}^{\omega} = \left(0,739 + \frac{8,7T_0}{L_0}\right) (1,611\sigma^2 - 2,873\sigma + 1,33)$; $L_0, T_0, S_{\text{ДП},0}, \sigma = \frac{S_{\text{ДП},0}}{L_0 T_0}$ - максимальные длина, ширина, площадь диаметральной плоскости и

коэффициент полноты подводной части для заданного нормального уровня ватерлинии.

Демпфирующий момент $M_{wx, \text{демпф}}$ относительно диаметральной плоскости может быть приближенно рассчитан по аппроксимационным эмпирическим формулам (3.22)–(3.25) в [9], полученным Шмуруном А.Н.:

$$M_{wx, \text{демпф}}(V, \omega_y) = [0,75\pi(\mu_{\theta,1} + \mu_{\theta,2})/\theta_0]\omega_x|\omega_x|, \quad (16)$$

где

$$\mu_{\theta,1} = 10^{-2}(1,78 - 0,078\bar{\tau}_0)(0,5 + 0,005\theta_0) \times \\ \times [0,00125(B/T_0)^2 + 0,044 + (0,262 - 0,484(T_0/B_0))\bar{S}_k](B_0/h_0),$$

$$\mu_{\theta,2} = 8(T_0/L_0 h_0 \delta \bar{\tau}_0) \bar{r}_m (z_g - 0,67T_0) \sqrt{L_0/B_0} Fr,$$

$$\bar{r}_m = (1/\pi)\{(0,887 + 0,145\delta)[1,7(T_0/B_0) + \delta] - 2(T - z_g)/B_0\},$$

$$r_0 = \frac{(\frac{2}{3}) \int_a^b y^3(x) dx}{U_{\text{подв}}}, h_0 = r_0 + z_{C,0} - z_g, \quad \bar{S}_k = 100 S_k/S_{\text{ВЛ}}, \quad Fr = V/\sqrt{gL_0},$$

$\bar{\tau}_0 = \tau_0 \sqrt{g/B_0}$; θ_0 - амплитуда качки, рад; τ_0 - собственный период бортовой качки; z_g и $z_{C,0}$ - вертикальные координаты центра тяжести и центра величины подводной части при нулевом угле крена; $\delta = S_{\text{погр}}/L_0 T_0$ - коэффициент общей полноты; S_k - суммарная площадь скуловых килей, S_k - площадь основной части плоскости при нормальном водоизмещении, ограничиваемой ватерлинией; r_0 - метacentрический радиус при малых углах крена, $y(x)$ - уравнение профиля нормальной ватерлинии в зависимости от продольной координаты x ($x \in (a, b)$), V - скорость хода судна.

Ниже при расчетах считаем влияние демпфирующих моментов в зависимостях F_w^0, M_w^0 аддитивным [3,5-7].

Расчет статических и динамических воздействий сплошной среды.

Вначале морское волнение не учитываем.. Расчет гидростатических силы и момента сводится к нахождению временных функциональных

зависимостей центров давления подводной части $x_A = x_A(t), y_A = y_A(t)$ и её объема $U_{подв}(t)$. определяем зависимости $U_{подв} = U_{подв}(d_{OM}, \gamma, \psi), x_A = x_A(d_{OM}, \gamma, \psi), y_A = y_A(d_{OM}, \gamma, \psi)$ путем построения в SolidWorks соответствующих сечений и последующего измерения объемов, площадей омываемых поверхностей подводных частей и положения их центров тяжести в связанной с катером системе координат (см. рис. 3). При этом учитываем, что центр гидростатического давления есть геометрический центр подводной части [8].

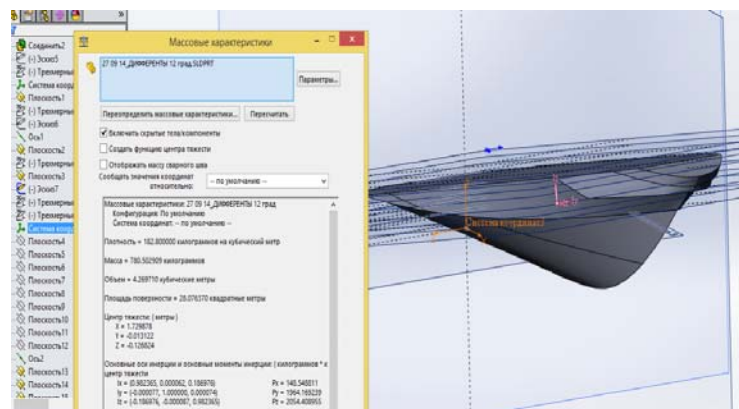
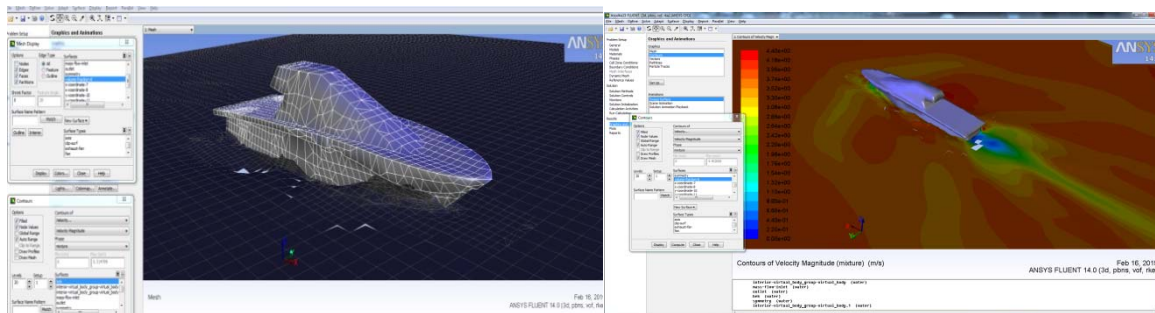


Рис. 3 - Построение подводной части корабля при дифференте на корму 12 град и определение центра давления

Будем далее считать углы γ крена настолько малыми, чтобы обоснованно пренебречь зависимостью них подводного объема, омываемой площади и центра давления.

Для определения динамических воздействий F_w^0, M_w^0 и F_a^0, M_a^0 было проведено *CFD* –моделирование с помощью программных продуктов AnsysFluent и FineHexa. Результаты моделирования с помощью этих комплексов, хорошо коррелирующие друг с другом, усреднялись. На рис.4а показана сетка в некоторый момент времени; на рис.4 б приведено распределение амплитуды скоростного поля в пределах возмущенной границы раздела.



а) сетка расчетной области в окрестности корабля б) распределение амплитуды скоростного поля по возмущенной границе раздела

Рис.4 – Визуализация сеточной структуры и характерного распределения скорости по границе раздела, поверхности корабля и его окрестности.

Функциональные зависимости для проекций F_w, M_w и F_a, M_a были получены путем аппроксимации данных виртуальной обдувки для различных углов дифферента и крена при фиксированном водоизмещении $U_{подв,0}$ и учета формул (3),(4), (14)-(16). Приведем соответствующие формулы для F_w, M_w :

$$F_{w,x} = -f_{S1} V^2 \{ [(134,29 - 0,48V + 2,789\psi^2) \cos\psi + (31,9 + 12,218\psi + 0,126\gamma) \sin\psi] - 3,286\beta^2 \}, \quad (17)$$

$$F_{w,y} = f_{S1} \{ V^2 [-(134,29 - 0,48V + 2,79\psi^2) \sin\psi + (31,9 + 12,22\psi + 0,13\gamma) \cos\psi - 1,547|\beta| - 0,12\beta^2] + 3,3810^3 V \omega_z \}, \quad (18)$$

$$F_{w,z} = f_{S1} \{ V^2 (-58,18\gamma - 0,0467\alpha\beta - 0,286\beta|\beta| + 0,0029\beta^2) + 3120V \omega_y \}, \quad (19)$$

$$M_{w,x} = f_{S1} \{ V^2 [(8,483\gamma - 0,0134\gamma|\gamma|) \cos\psi + 3,460\gamma \sin\psi + 0,197\beta + 0,053\alpha\beta - 2,4510^{-4} \alpha\beta|\beta|] - 160,1V \omega_x \}, \quad (20)$$

$$M_{w,y} = f_{S1} \{ V^2 (-8,483\gamma \sin\psi + 3,460\gamma \cos\psi + 1,89\beta + 0,01\beta|\beta|) - 1,008 \cdot 10^4 V \omega_y \}, \quad (21)$$

$$M_{w,z} = f_{S1} \{V^2(452 + 4,22\psi - 0,0209|\gamma|\psi - 0,0008V\psi^2 + 2,0110^{-5}\alpha\beta) - 3,310^3V\omega_z\}, \quad (22)$$

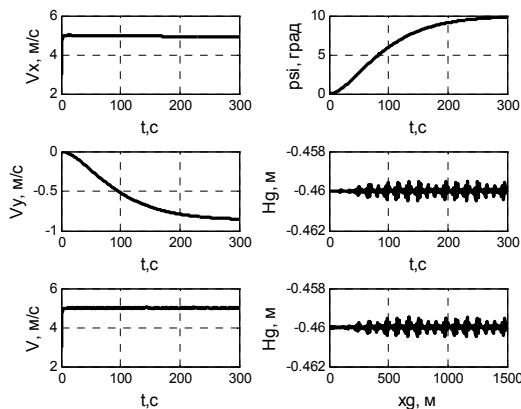
где ψ , γ – углы дифферента и крена, α , β – углы атаки и скольжения (все углы измеряются в градусах), V – скорость в м/с. Для определения функции $f_{S1} = \frac{S(\psi, -y_g/\cos\psi)}{S[\psi, d_0(\psi)]}$, входящей в (17)-(22), необходимо в приближении малых углов крена знать три функциональных зависимости: а) погруженных площади $S_{\text{подв}}$ и объема $U_{\text{подв}}$ от угла ψ дифферента и параметра d_{OM} ; б) параметра d_{OM} от угла ψ при фиксированном водоизмещении $U_{\text{подв},0} = 4,658 \text{ м}^3$, соответствующем рассмотренному случаю. Также по ранее использованной методике с помощью пакетов *Matlab* и *SolidWorks*, оцениваются зависимости $S_glub(\psi, x)$ и $d_OM(\psi)$.

Для получения проекций полных гидроаэродинамических силы и момента необходимо к правым частям (17)-(22) прибавить соответствующие проекции, вызванные морским волнением (5)-(10).

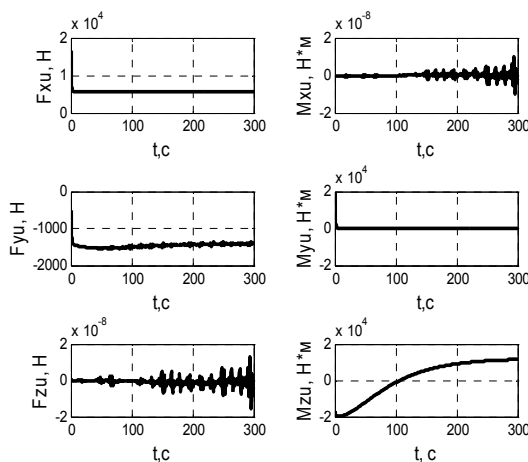
Моделирование движения корабля для малых углов крена при управлении позиционно-траекторным регулятором и наличии морского волнения.

Используя полную математическую модель динамики (1), промоделируем движение корабля по прямой линии, задаваемой двумя уравнениями $H_g = -0,46 \text{ м}$ и $z_g = 0 \text{ м}$ при наличии управления позиционно-траекторным регулятором (ПТР). Целесообразность использования данного типа регулятора для автономного управления подводных и надводных аппаратов была обоснована теоретически [1,10,11], а в случае надводного мини-корабля, - практически путем создания соответствующего прототипа [12]. На основе ПТР определим соответствующие потребные силы и моменты. Целевые значения внешних координат и путевая скорость равны: $\psi_0 = 10^0$, $H_{g,0} = -0,46 \text{ м}$, $V_0 = 10 \text{ м/с}$, а процесс их сходимости представлен

на рис.5 а. По представленным на рис.5 б графикам временных зависимостей $F_{u,x}, F_{u,y}, F_{u,z}, M_{u,x}, M_{u,y}, M_{u,z}$ видно, что значащими не нулевыми являются только $F_{u,x}, F_{u,y}, M_{u,z}$. Вектор силы образует угол $\arctan\left(\frac{F_{u,y}}{F_{u,x}}\right) = 13,6^\circ$ со свободной поверхностью, что близко к целевому углу дифферента $\psi_0 = 10^\circ$.



а) функции изменения внешних координат

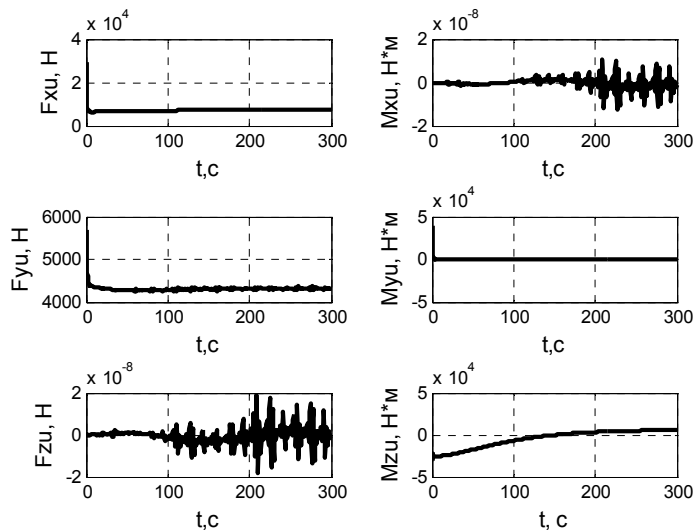


б) распределение потребных управляющих сил и моментов

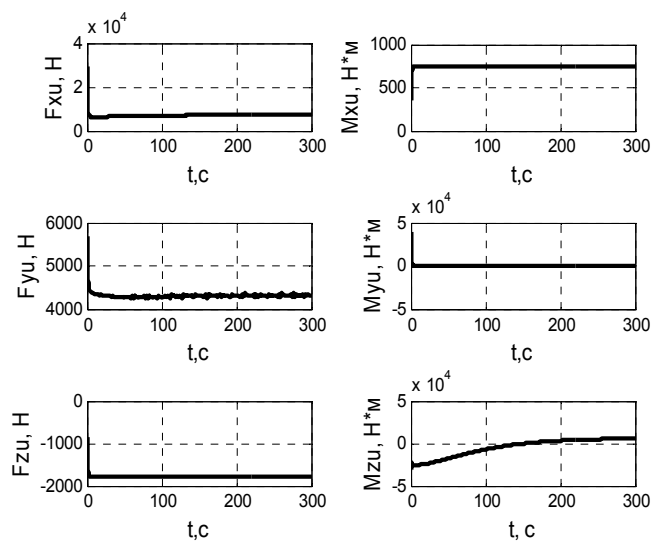
Рис.5 – Моделирование движения по прямой линии с управлением ПТР без морского волнения

Исследуем влияние морского волнения на величину целевых управляющих сил и моментов, вырабатываемых регулятором и необходимых для осуществления движения с заданными параметрами. На рисунке 6 представлены распределения потребных управляющих сил и моментов для

двух случаев морского волнения: $\zeta_A = 1\text{м}$, $\lambda = 3\text{м}$, $\beta_B = 0^\circ$ и $\zeta_A = 1\text{м}$, $\lambda = 3\text{м}$, $\beta_B = 45^\circ$.



а)



б)

Рис.6 – Распределение потребных управляющих сил и моментов при движении по прямой с управлением ПТР и морским волнением с $\zeta_A = 1\text{м}$, $\lambda = 3\text{м}$ при $\beta_B = 0^\circ$ (а) и $\beta_B = 45^\circ$ (б).

Из сопоставления графиков, приведенных на рисунках 5 и ба, видно, что при встречном волнении модуль управляющей силы увеличивается – в

основном за счет увеличения проекции управляющей силы по оси ОУ: без волнения она равна по модулю 1500 Н, а с встречным волнением – 4500 Н. Проекция по оси ОХ возрастает при этом незначительно – примерно на 150 Н. Проекция момента силы управления возрастает на начальном участке движения примерно на 20%.

Из сравнения рисунков 6 а,б следует, что при косом движении волн с углом скольжения $\beta_B = 45^\circ$ появляется значительная потребная управляющая сила (1800 Н) по оси ОZ и для поддержания устойчивости по крену возникает момент вращения по оси ОХ величины 750 Н*м.

Выводы

В рамках полносвязной математической модели движения твердого тела рассмотрены особенности кинематики и динамики надводного мини-корабля «Нептун». Это позволило получить методику расчета в первом приближении гидродинамических/статических сил и моментов, значительно ускоряющую процесс идентификации соответствующих функциональных зависимостей математической модели. Для проверки использованных представлений в отношении конкретного типа мини-корабля определены аналитические функциональные зависимости статических и динамических воздействий сплошной среды от внешних координат и скоростей движения.

Проведено моделирование позиционно-траекторного управления движением мини-корабля при наличии морского волнения. Полученные результаты вполне соответствуют качественным физическим представлениям, лежащим в основе динамики надводного корабля.

Благодарности

Работа выполнена при поддержке гранта РФФИ № 13-08-00249-а и НИР №114041540005 по государственному заданию ВУЗам и научным организациям в сфере научной деятельности.



Литература

1. Пшихопов В. Х. Позиционно–траекторное управление подвижными объектами. – Таганрог: Изд-во: ТТИ ЮФУ, 2009. С.14-18.
2. Пшихопов В.Х. , Федотов А.А. , Медведев М.Ю., Медведева Т.Н., Гуренко Б.В. Позиционно-траекторная система прямого адаптивного управления морскими подвижными объектами // Инженерный вестник Дона, 2014, №3 URL:ivdon.ru/ru/magazine/archive/n3y2014/2496.
3. Бюшгенс Г. С., Студнев Р.В. Динамика полета. Пространственное движение. – М.: Машиностроение, 1983. С.15-17.
4. В.Х. Пшихопов, Б.В. Гуренко Разработка и исследование математической модели автономного надводного мини-корабля «Нептун» // Инженерный вестник Дона, 2013, №4 URL:ivdon.ru/ru/magazine/archive/n4y2013/1918.
5. Бюшгенс Г. С., Студнев Р. В. Аэродинамика полета. Динамика продольного и бокового движения – М.: Машиностроение, 1979. С.29-31.
6. Дегтярь В. Г., Пегов В. И. Гидродинамика баллистических ракет подводных лодок. Монография – ФГУП «ГРЦ «КБ им. акад. В.П. Макеева», Миасс, 2004. С.92.
7. Краснов Н.Ф. Аэродинамика в 2-х ч., ч.1. М: “Высшая школа”, 1976, С.33-34.
8. Лойцянский Л.Г. Механика жидкости и газа. Москва-Ленинград: Государственное издательство технико-теоретической литературы. 1950, С.502.
9. Справочник по теории корабля, в 3-х томах, т.2, 1968. С.297-298.



10. Pshikhopov, V.Kh., Medvedev, M.Yu., Gaiduk, A.R., Gurenko, B.V., Control system design for autonomous underwater vehicle, 2013, Proceedings - 2013 IEEE Latin American Robotics Symposium, LARS 2013, pp. 77-82, doi:10.1109/LARS.2013.61.
11. Pshikhopov V. Kh., Medvedev M. Y., and Gurenko B. V. Homing and Docking Autopilot Design for Autonomous Underwater Vehicle // Applied Mechanics and Materials Vols. 490-491 (2014). Pp. 700-707. Trans Tech Publications, Switzerland. doi:10.4028/www.scientific.net/AMM.490-491.700.
12. Гуренко Б.В. Федоренко Р.В., Назаркин А.А. Система управления автономного надводного мини-корабля. «Современные проблемы науки и образования», 2014. URL: science-education.ru/119-r14511.

References

1. Pshihopov V. H. Pozicionno-traektornoe upravlenie podvizhnymi ob#ektami [Position-trajectory of mobile units]. Taganrog: Izd-vo: TTI JuFU, 2009. pp.14-18.
 2. Pshihopov V.H., Fedotov A.A. , Medvedev M.Ju., Medvedeva T.N., Gurenko B.V. Inzhenernyj vestnik Dona (Rus), 2014, №3 URL:ivdon.ru/ru/magazine/archive/n3y2014/2496.
 3. Bjushgens G. S., Studnev R.V. Dinamika poleta. Prostranstvennoe dvizhenie [Flight Dynamics. Spatial movement]. M.: Mashinostroenie, 1983. PP.15-17.
 4. V.H. Pshihopov, B.V. Gurenko Inzhenernyj vestnik Dona (Rus), 2013, №4 URL:ivdon.ru/ru/magazine/archive/n4y2013/1918.
 5. Bjushgens G. S., Studnev R. V. Ajerodinamika poleta. Dinamika prodol'nogo i bokovogo dvizhenija [The aerodynamics of flight. Dynamics of the longitudinal and lateral movement]. M.: Mashinostroenie, 1979.PP.29-31.
-



6. Degtjar' V. G., Pegov V. I. Gidrodinamikaballisticheskikh raket podvodnykh lodok. Monografiya [Hydrodynamics of ballistic missile submarines. Monograph]. FGUP «GRC «KB im. akad. V.P. Makeeva», Miass, 2004. P.92.
7. Krasnov N.F. Aerodinamika v 2-h ch., ch.1 [Aerodynamics in 2 parts. Part 1]. M: "Vysshajashkola", 1976. PP.33-34.
8. Lojczanskij L.G. Mehanikazhidkosti i gaza [Fluid Mechanics]. Moskva-Leningrad: Gosudarstvennoe izdatel'stvo tehniko-teoreticheskoi literatury. 1950. P.502.
9. Spravochnik poteorii korablja, v 3-h tomah [Handbook of theory of the ship, in 3 volumes. Vol 2] 1968. PP.297-298.
10. Pshikhopov, V.Kh., Medvedev, M.Yu., Gaiduk, A.R., Gurenko, B.V., Control system design for autonomous underwater vehicle, 2013, Proceedings - 2013 IEEE Latin American Robotics Symposium, LARS 2013, pp. 77-82, doi:10.1109/LARS.2013.61.
11. Pshikhopov V. Kh., Medvedev M. Y., and Gurenko B. V. Homing and Docking Autopilot Design for Autonomous Underwater Vehicle. Applied Mechanics and Materials Vols. 490-491 (2014). Pp. 700-707. Trans Tech Publications, Switzerland. doi:10.4028/www.scientific.net/AMM.490-491.700.
12. Gurenko B.V. Fedorenko R.V., Nazarkin A.A. The control system of autonomous freeboard mini ship. «Sovremennye problemy nauki i obrazovaniya», 2014. URL: science-education.ru/119-r14511.